



1542-GP-JC-9.701.- Panorámica de la Sierra de los Caballos vista desde la vertiente Norte del cerro de Perinias. A la derecha, dolomías y calizas del Jurásico inferior. En el centro niveles margosos del Lías medio y superior (desde el Toarcieno), Dogger y resalte calizo (a la izquierda) del Malm. Al fondo la Sierra de Estepa.



1542-GP-JC-9.702.- Materiales terciarios, prodominante-
mente margosos, del cerro Pernias sobre los materiales
Triásicos (a la izquierda de la foto). Al fondo, la po-
blación de Sierra de Yeguas.



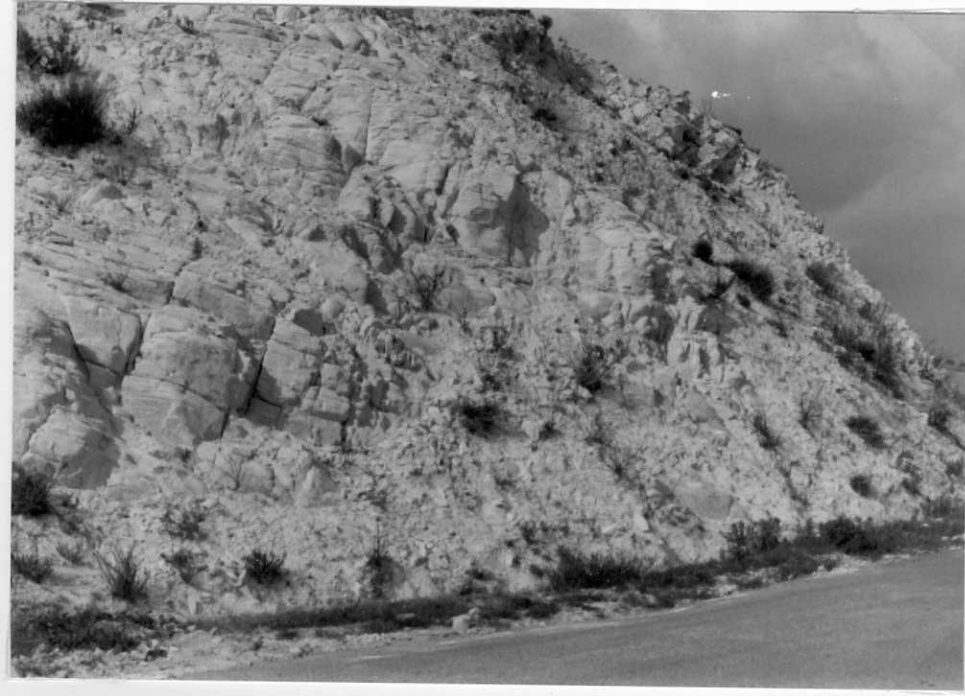
1542-GP-JC-9.703.- Margas rosadas y crema alternantes ~~ce~~
con finos niveles de margacalizas grisaceas. (10 cm). (-
(Cretácico Superior-Eoceno).



1542-GP-JC-9.704.- Calizas detríticas (lumaquela) correspondiente a la muestra 9.413 (Mioceno superior).

1542-GP-JC-9.704. (bis).- Detalle de la fotografía anterior.





1542-GP-JC-9.705.- Margas blancas (Moronitas).



1542-GP-JC-9.706.- Areniscas calcareas del mioceno superior de El Sancejo.



1542-GP-JC-9.707.- Margas blancas con intercalaciones de arenas amarillas tableadas del Eoceno inferior en bancos de 15 a 20 cm y de calizas detríticas del Eoceno inferior en niveles de 5 a 20 cm. de grosor.



1542-GP-JC-9.708.- Margocalizas rosadas del Eocene con – intercalaciones de margas rojas del Eocene inferior, en la secuencia de Barrancos Blancos.



1542-GP-JC-9.709.- Margas amarillas oligoceno inferior + (Lattorfense), con pasadas de areniscas calcáreas amarillas y con niveles olistostrómicos como los de la muestra 9.616 (Eoceno medio-Superior); los niveles olistostrómicos están constituidos por calizas detríticas con microfauna muy abundante.



1542-GP-JC-9.710.- Detalle de los niveles olistostrómicos citados en la foto anterior.



1542-GP-JC-9.711.- Margas amarillas crema que alternan -
con niveles carbonatados olistostrómicos.



1542-GP-JC-9.712.- Margas arcillosas amarillentas con in
tercalaciones de lechos delgados de areniscas amarillas,
areniscas calcáreas amarillentas, muestra 9.634 (possible
Oligoceno medio) y calizas detríticas finas con microfau
na abundante.



1542-GP-JC-9.713.- Areniscas calcáreas del Mioceno Superior de Martín de la Jara.



15-GP-JC-9.714.- Terraza aluvial reciente en Martín de la Jara.



1542-GP-JC-9.715.- Aspecto de detalle de la terraza aluvial citada en la foto anterior.



1542-GP-JC-9.716.- Panorámica tomada desde las afueras de Martín de la Jara hacia el sur. Terrazas aluviales recientes en el sector de Martín de la Jara. En segundo plano materiales triásicos.



1542-GP-OS-9.751.- Costra sobre dolomía del Lías inferior. Sierra de los Caballos.



1542-GP-OS-9.752.- Costra sobre dolomía del Lías infe -
rior. Sierra de los Caballos.



1542-GP-OS-9.753.- Colada cárstica en las dolomías del Lías inferior. Sierra de los Caballos.



1542-GP-OS-9.754.- Colada cárstica en las dolomías del Lías inferior. Sierra de los Caballos.



1542-GP-OS-9.755.- Caliza dolomitizada del Lías medio--
inferior. Sierra de los Caballos.



1542-GP-OS-9.756.- Caliza dolomitizada del Lías medio--inferior. Las estrías se deben a la extracción de blo -ques, para la construcción. Sierra de los Caballos.



1542-GP-OS-9.757.- Aspecto general del Trías, desde la Sierra de los Caballos.



1542-GP-OS-9.758.- Aspecto general del Trías, desde la Sierra de los Caballos.



1542-GP-OS-9.759.- Caliza del Lías medio-inferior con -
fósiles gesterópados sin romper.



1542-GP-OS-9.760.- Aspecto general de margocalizas grises "con pistas", del Lías superior. Sierra de los Caba
llos.



1542-GP-OS-9.761.- Margocalizas grises "con pistas". de
Lías superior. Sierra de los Caballos.



1542-GP-OS-9.762.- Dolomía del Aaleniense-Bajociense. -
Sierra de los Caballos.



1542-GP-OS-9.763.- Depósitos de caliza dolomitizada del Aaleniense-Bajociense, correspondientes a barras litorales.



1542-GP-OS-9.764.- Banco de caliza dolomitizada Aaleniense-Bajociense Sierra de los Caballos.



1542-GP-OS-9.765.- Margocalizas con sílex del Dogger- -
Malm. Soerra de los Caballos



1542-GP-OS-9.766.- Margocalizas con sílex del Dogger-Malm
Sierra de los Caballos.



1542-GP-OS-9.767.- Aspecto general de afloramiento de -
margocalizas con sílex del Dogger-Malm. Sierra de los -
Caballos.



1542-GP-OS-9.768.- Calizs margosas y margas del Lias su
perior. Sierra del Tablón.



1542-GP-OS-97769.- Margocalizas y margas grises del Lías
medio-superior. Sierra del Tablón.



1542-GP-OS-9.770.- Aspecto general del Trías desde la -
Sierra del Tablón. El pueblo que se ve es Algámitas.



1542-GP-OS-9.771.- Calizas margosas del Cretácico super +
rior-Eoceno, situadas en los Barrancos Blancos.



1542-GP-05-9.772.- Calizas margosas del Cretáceo superior-Eoceno, situadas en los Barrancos Blancos.



1542-GP-OS-9.773.- Estratificación cruzada tipo "sigmoide" en la parte inferior de la fotografía. Biocalcarentas de edad Tortonense-Messiniense.



1542-GP-OS-9.774.- Estratificación cruzada posiblemente "sigmoide" en el punto que ocupa el martillo. Biocalcare nitas de edad Tortoniana-Messiniense.



1542-GP-OS-9.775.- Estratificación cruzada en biocalcaore
nitas de edad Tortonense-Messiniense.

1542-GP-0S-9.776.- Estratificación cruzada tipo "herring bone" en biocalcarenitas de edad Tortoniense-Messiniense





1542-GP-OS-9.777.- Estratificación cruzada en biocalcare nitas de edad Tortoniense-Messiniense.



1542-GP-OS-9.778.- Biocalcarenitas de edad Tortoniana-Messiniense.



1542-GP-OS-9.779.- Margocalizas siliceas (Moronitas)



1542-GP-OS-9.780.- Calizas detriticas y margas de color blanco del Neogeno, localizadas en las Viñas.



1542-GP-OS-9.781.- Calizas detríticas y margas de color blanco del Neógeno, ubicadas en las Viñas.



1542-GP-OS-9.782.- Aspecto general de Trías, al fondo =
Cerro de la Gomera posible Muschelkalk.



1542-GP-OS-9.783.- Afloramiento de Trías.



1542-GP-OS-9.784.- Margocalizas siliceas (Moronitas).



1542-GP-OS-9.785.- Margocalizas siliceas (*Moronitas*).



1542-GP-OS-9.786.- Vista general de Triás. Los tonos blancos de el fondo son las calizas margosas del Cretá-
cico superior-Eoceno "capas rojas".



1542-GP-OS-9.787.- Peñón de la Sierrezuela formado por -
dolomías del Lías.



1542-GP-OS-9.788.- Aspecto general de las calizas margosas negras del Lías inferior-medio. Sierra del Tablón.



1542-GP-OS-9.789.- Aspecto general del Trías. Carretera
El Sancejo-Campillos.



1542-GP-OS-9.790.- Dolomías del Lías. Peñón de la Sierra
zuela.



1542-GP-0S-9.791.- Conglomerado de una "facies conglomerática" del Tortoniense-Messiniense.



1542-GP-OS-9.792.- Conglomerado de una "facies conglomerática" del Tortoniano-Messiniano.



1542-GP-OS-9.793.- Aspecto general de los conglomerados de las "facies conglomerática" de edad Tortoniense-Messiniense. Los colores rojizos del fondo pertenecen al Trías



1542-GP-OS-9.794.- Aspecto general de dolomías y calizas oolíticas del Lías. Picos de Almadenes.



1542-GP-OS-9.795.- Aspecto general de arcillas de la formación "arcillas con bloques". Al fondo cerros formados por las biocalcarenitas del Tortoniense-Messiniense.



1542-GP-OS-9.796.- aspecto general de las arcillas de la formación "arcillas con bloques", al fondo cerros de ~~Trías~~ Trías.



1542-GP-0S-9.797.- Aspecto general de Trías. Carretera Osuna-El Sancejo.



1542-GP-OS-9798.- Panorámica donde se observa a las marcas y margocalizas del Cretácico superior (Zona cultivada), descansar sobre los yesos y arcillas del Trías subbético indiferenciado.



1542-GP-OS-9799.- Panorámica donde también se observa a las margas del Cretácico superior (color blanquecino y situadas al fondo), reposar sobre el Trías subbético in diferenciado cuyo color es rojizo y está sin cultivar.